

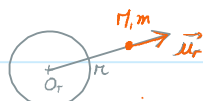
Partie 1. Se libérer de l'attraction :

I.1. l'attraction gravitationnelle.

Q1. Réf galiléen : Dans un réf galiléen, un système isolé est soit immobile, soit en translation rectiligne uniforme.

Le réf terrestre est galiléen si la durée de l'expérience est très petite devant 24h00. On pourra alors négliger l'effet de la rotation de la terre.

$$\begin{aligned} Q2. \quad \vec{F}_G &= -G \cdot \frac{M_r m}{r^2} \vec{u}_r \\ &= -G \cdot \frac{M_r m}{\|O_r r\|^3} \vec{u}_r. \end{aligned}$$



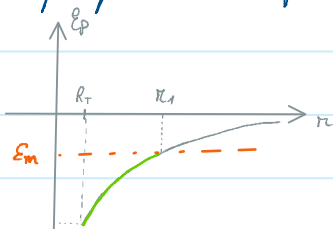
Cette force dérive d'une énergie potentielle $\mathcal{E}_p(r)$ telle que (en coordonnées sphériques).

$$\vec{F}_G = -\text{grad } \mathcal{E}_p \Rightarrow \left\{ \begin{array}{l} \vec{F}_G \cdot \vec{u}_r = -\frac{\partial \mathcal{E}_p}{\partial r} \\ \vec{F}_G \cdot \vec{u}_\theta = -\frac{1}{r} \cdot \frac{\partial \mathcal{E}_p}{\partial \theta} = 0 \\ \vec{F}_G \cdot \vec{u}_\phi = -\frac{1}{r \sin \theta} \frac{\partial \mathcal{E}_p}{\partial \phi} = 0 \end{array} \right. \Rightarrow \text{ainsi } \mathcal{E}_p \text{ ne dépend ni de } \theta \text{ ni de } \phi.$$

$$\frac{d\mathcal{E}_p}{dr} = +G \cdot \frac{M_r m}{r^2} \Rightarrow \int_{\mathcal{E}_p(r_1)}^{\mathcal{E}_p(r_2)} d\mathcal{E}_p = \int_{r_1}^{r_2} G \frac{M_r m}{r^2} dr \Rightarrow \mathcal{E}_p(r) = \mathcal{E}_p(r_1) - \frac{GM_r m}{r} + \frac{GM_r m}{r_1}$$

avec $r_1 \rightarrow \infty$. nous obtenons : $\boxed{\mathcal{E}_p(r) = -G \frac{M_r m}{r}}$

Q3 Un mouvement est lié si le système n'échappe pas à l'attraction de la terre (ici). Le système ne peut pas partir à l'infini.



$$\mathcal{E}_m = \mathcal{E}_c + \mathcal{E}_p \Rightarrow \mathcal{E}_c = \mathcal{E}_m - \mathcal{E}_p > 0.$$

$$\Rightarrow \mathcal{E}_m > \mathcal{E}_p.$$

Pour observer un état lié, il faut que x soit borné. Pour cela $\mathcal{E}_m < 0$.

— Valeur de \mathcal{E}_p vérifiant $\mathcal{E}_p < \mathcal{E}_m \Rightarrow x \in [R_t, x_1]$. L'état est lié!

Q4. Vitesse de libération :

$$\begin{aligned} \text{Etat initial} \quad &\left\{ \begin{array}{l} v_{\text{radiale}} = v_{\text{libérat}} \\ \mathcal{E}_i = -G \frac{M_r m}{R_t} \end{array} \right. \\ & \end{aligned}$$

$$\begin{aligned} \text{Etat final} \quad &\left\{ \begin{array}{l} \mathcal{E}_f = 0 \\ \mathcal{E}_{pf} = 0 \end{array} \right. \\ & \end{aligned}$$

La conservation de l'énergie (pas de force de frottement) assure :

$$\frac{1}{2} m v_e^2 - G \frac{m M}{R_T} = 0 \Rightarrow v_e = \sqrt{\frac{2GM}{R_T}}$$

I.2. Lin d'un boulet de canon.

Q5. $\vec{F}_f = -\frac{m}{l_f} \cdot \vec{v} \cdot \vec{v}$. $[\vec{F}] = [m \vec{a}] = \frac{M L}{t^2}$. $[\frac{m}{l_f} \cdot \vec{v} \cdot \vec{v}] = \frac{M}{l_f} \cdot \frac{L^2}{t^2}$) $\Rightarrow [l_f] = L$.

Q6. Système : le Boulet évoluant dans le référentiel terrestre supposé galiléen.

le système est soumis à son poids qui dérive d'une énergie potentielle $E_p = mgz + \text{cste}$

\rightarrow force de frottement : force non conservative.

$$\Rightarrow \frac{dE_m}{dt} = \mathcal{P}(\vec{F}_f) \Rightarrow \frac{dE}{dt} = \vec{P} \cdot \vec{v} + \vec{F}_f \cdot \vec{v} = -(mg\dot{z} + \frac{m}{l_f} \ddot{z}^3) < 0 \text{ car } \ddot{z} > 0 \text{ phase montante.}$$

Il vient donc que $E \downarrow$ jusqu'à s'annuler. lorsque E s'annule, le boulet a atteint sa valeur max.

Q7. phase ascendante : $\frac{dE}{dt} = -m(gv + \frac{1}{l_f} v^3) \Rightarrow m.v \cdot \frac{dv}{dt} = -m(gv + \frac{1}{l_f} v^3)$

$$\Rightarrow \boxed{\frac{dv}{dt} + \frac{1}{l_f} \cdot v^2 + g = 0}$$

phase descendante : $\vec{v} = -v \vec{i}_z$ $(\vec{P} + \vec{F}_f) \cdot \vec{v} = (-mg\vec{i}_z + \frac{m}{l_f} \cdot v v \vec{i}_z) \cdot (-v \vec{i}_z) = m(gv - \frac{v^3}{l_f})$

$$\frac{dE}{dt} = \mathcal{P}(\vec{P}) + \mathcal{J}(\vec{F}_f) \Rightarrow mv \cdot \frac{dv}{dt} = +mv(g - \frac{v^2}{l_f})$$

$$\Rightarrow \boxed{\frac{dv}{dt} + \frac{v^2}{l_f} - g = 0}$$

Q8. phase ascendante : vitesse limite : $\frac{dv}{dt} = 0 \Rightarrow v^2 = -l_f g < 0$
Ceci est impossible.

Conclusion : Durant la phase ascendante, la vitesse n'admet pas de valeur limite.

phase descendante : vitesse limite $v_e = \sqrt{l_f g}$

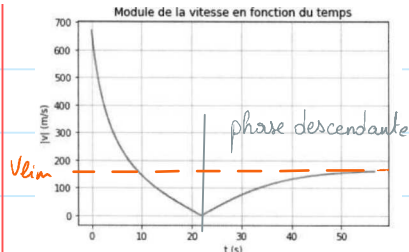


Figure 4 : module de la vitesse $v(t)$

Q9.

$$v_{\text{lim}} = \sqrt{\ell g}$$

$$\tau = \frac{m}{\ell} \Rightarrow$$

$$v_{\text{lim}} = \sqrt{\frac{mg}{\tau}}$$

Q10

phase descendante :

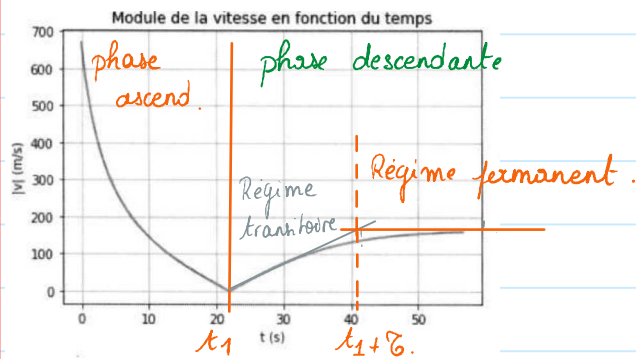


Figure 4 : module de la vitesse $v(t)$

Temps caractéristique : $\frac{dv_2}{dt} = \frac{v_2^2}{\ell_f}$ pour le régime transitoire.

Le temps nécessaire pour que v passe de 0 m/s à v_{lim} $\Rightarrow \frac{v_{\text{lim}} - 0}{\tau} \approx \frac{v_{\text{lim}}^2}{\ell_f}$
 $\Rightarrow \tau \approx \frac{\ell_f}{v_{\text{lim}}} \approx \sqrt{\frac{\ell}{g}}$

Nature du mouvement : $v \approx v_{\text{lim}} = \text{cste.}$ Mouvement de translation rectiligne (Boulet est sur l'axe $(Oz) \neq t$) uniforme ($v \approx \text{cste.}$).

Q11

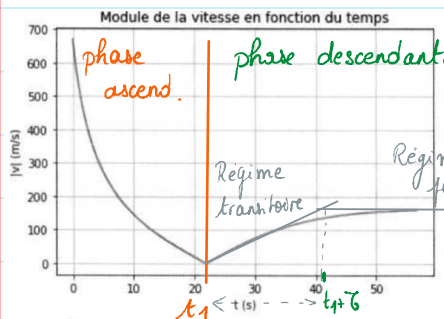


Figure 4 : module de la vitesse $v(t)$

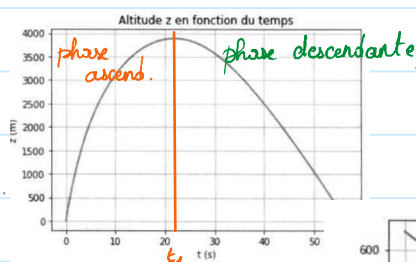


Figure 5 : altitude $z(t)$

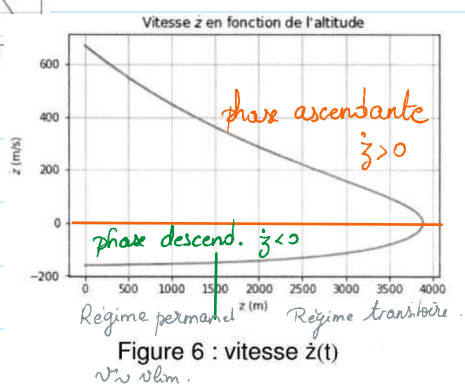


Figure 6 : vitesse $\dot{z}(t)$

Q12 Phase ascendante :

$$\frac{dv}{dt} = -\frac{v^2}{t_f} - g \Rightarrow \frac{dv}{dt} = -g \left(1 + \frac{v^2}{gt_f}\right) \Rightarrow \frac{dv}{dt} = -g \cdot \left(1 + \frac{v^2}{v_{\text{lim}}^2}\right)$$

Posons $\tilde{v} = \frac{v}{v_{\text{lim}}} \Rightarrow d\tilde{v} = \frac{1}{v_{\text{lim}}} dv \quad v_{\text{lim}} = \sqrt{gt_f}$

$$\text{Eq1: } \frac{d\tilde{v}}{dt} = -\frac{1}{v_{\text{lim}}} g \cdot \left(1 + \tilde{v}^2\right) \Rightarrow \int \frac{d\tilde{v}}{1 + \tilde{v}^2} = -\int \frac{g}{\sqrt{t_f}} dt = -\int \frac{1}{\tau} dt$$

$$\Rightarrow \arctan\left(\frac{\tilde{v}_+}{v_{\text{lim}}}\right) - \arctan\left(\frac{v_0}{v_{\text{lim}}}\right) = -\frac{t}{\tau} \Rightarrow \boxed{\tilde{v}_+ = v_{\text{lim}} \tan\left(-\frac{t}{\tau} + \arctan\left(\frac{v_0}{v_{\text{lim}}}\right)\right)}$$

Phase descendante .

$$\frac{dv}{dt} = -\frac{v^2}{t_f} + g$$

de la même façon :

$$\frac{d\tilde{v}}{dt} = +\frac{1}{v_{\text{lim}}} g \left(1 - \tilde{v}^2\right) \Rightarrow \int \frac{d\tilde{v}}{1 - \tilde{v}^2} = \int \frac{dt}{\tau}$$

$$\Rightarrow \boxed{v_-(t) = v_{\text{lim}} \tanh\left(\frac{t-t_1}{\tau}\right)}$$

Q13. phase descendante

$$\text{Q8: } \lim_{t \rightarrow \infty} (v_-(t)) = v_{\text{lim}} \quad \text{car d'après le formulaire } \lim_{x \rightarrow \infty} (\tanh(x)) = 1.$$

Ceci ne peut s'observer au cours de la phase ascendante car $\lim_{t \rightarrow \infty} (\tanh(x))$ n'est pas définie.

$$\text{Q9} \quad v_{\text{lim}} = \sqrt{gt_f}$$

$$\text{Q10} \quad v_-(t) = v_{\text{lim}} \cdot \tanh\left(\frac{t-t_1}{\tau}\right)$$

$$t' = (t-t_1) \ll \tau. \quad \tanh\left(\frac{t'}{\tau}\right) = \frac{e^{+t'/\tau} - e^{-t'/\tau}}{e^{+t'/\tau} + e^{-t'/\tau}} \quad \text{avec} \quad \begin{cases} e^{+t'/\tau} \approx 1 + \frac{t'}{\tau} \\ e^{-t'/\tau} \approx 1 - \frac{t'}{\tau} \end{cases}$$

$$\Rightarrow \tanh\left(\frac{t'}{\tau}\right) \approx \frac{t'}{\tau} \quad \text{et } \tau = \frac{t_f}{v_{\text{lim}}}$$

Bilan : pour $t' = t - t_1 \ll T$

$$v_r(t) \sim \frac{t-t_1}{T} v_{\text{lim}}^2$$

régime transitoire.

pour $t' = t - t_1 \gg T$

$$v_r(t) \sim v_{\text{lim}}$$

régime permanent.

Q14

$$v_{\text{lim}} \approx 166 \text{ m/s}$$

↳ graphique 4

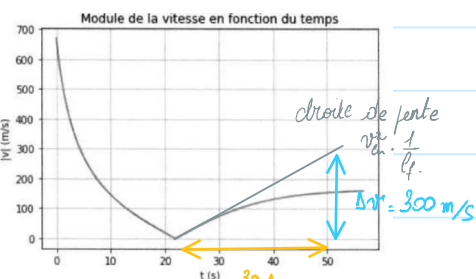


Figure 4 : module de la vitesse $v(t)$

$\frac{1}{T}$ est la pente de $v_r(t)$ en régime transitoire.

$$\frac{v_{\text{lim}}^2}{T} = \frac{300}{30} \approx 10 \text{ m/s}^2 \Rightarrow T = 300 \text{ m.}$$

$$\frac{v_{\text{lim}}^2}{T} = \frac{300}{30} \approx 10 \text{ m/s}^2 \Rightarrow T = 30 \text{ s.}$$

Vérifions la cohérence des valeurs mesurées : $v_{\text{lim}} = \sqrt{g_0 l_f} \approx 164 \text{ m/s}$. Ok.

$$T = \frac{l_f}{v_{\text{lim}}} = 17 \text{ s.} \quad \text{Ok.}$$

Q15. * le boulet évolue entre $z=0$ et $z=h_{\text{max}} = 3900 \text{ m}$.

$$\|\vec{F}_G\| = G \frac{m M_T}{(R_T + z)^2} \approx mg \quad \text{si nous négligeons la rotation de la terre.}$$

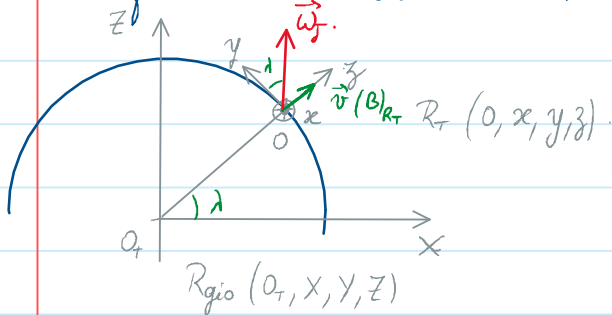
$$\frac{F(0)}{F(h_{\text{max}})} = \frac{G m M_T}{R_T^2} \cdot \frac{(R_T + h_{\text{max}})^2}{G m M_T} \Rightarrow \frac{F(0)}{F(h_{\text{max}})} \approx \left(\frac{R_T + h_{\text{max}}}{R_T} \right)^2 \approx 1 + 6 \cdot 10^{-4} \approx 1.$$

Il est donc légitime de considérer l'uniformité de g_0 .

* $\vec{F}_f = -\gamma v \vec{v}$ pour $v > 10 \text{ m/s}$. Cette hypothèse n'est pas vérifiée pour z autour de h_{max} , puisque en h_{max} , la vitesse est nulle.

Q16 Si le référentiel terrestre n'était pas galiléen, il faudrait tenir compte de la \vec{F}_{ic} puisque $\vec{P} = \vec{F}_G + \vec{F}_{ic}$.

$$\text{force d'inertie de Coriolis : } \vec{F}_{ic} = -2m \vec{\omega}_{\text{Terre}} \times \vec{v}(B)_{R_T}.$$



$$\vec{F}_{ic} = -2m \omega_{\text{Jour}} \cos(\alpha) \cdot v \vec{e}_x$$

Pour la phase d'ascension, il y aura une déviation vers l'ouest ($-\vec{e}_x$)

Pour la phase de descente \rightarrow l'est. ($+\vec{e}_x$)

sa valeur max est donnée pour $\theta = 0 \Rightarrow \cos \theta = 1$.

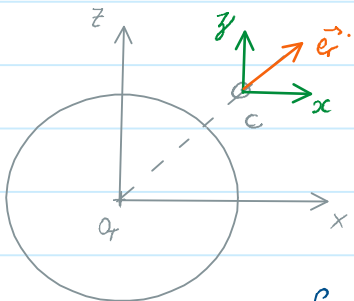
$$F_{ic\max} = 2m \cdot \omega_{Jour} \cdot v_0 \Rightarrow F_{ic\max} \sim 2 \times 12 \times \frac{2\pi}{24.3600} \cdot 650$$

$$\Rightarrow F_{ic\max} \sim 1,1 \text{ N.}$$

Partie 2 : Etude d'une station spatiale.

II 1 Référentiel en orbite terrestre.

Q17



R_T : réf terrestre supposé Galiléen

$$R_T (O_T, x, y, z)$$

R_c : réf lié à la capsule $R_c (C, x, y, z)$

R_c est en translation circulaire par rapport à R_T

Il n'est donc pas galiléen.

Système (M, m) dans la capsule étudié dans R_c

$$\text{BAJ} : \vec{F}_G = -G \cdot \frac{M_m}{(R_T + h)^2} \vec{e}_r \quad \vec{F}_{ie} = +m \omega^2 (R_T + h) \vec{e}_r$$

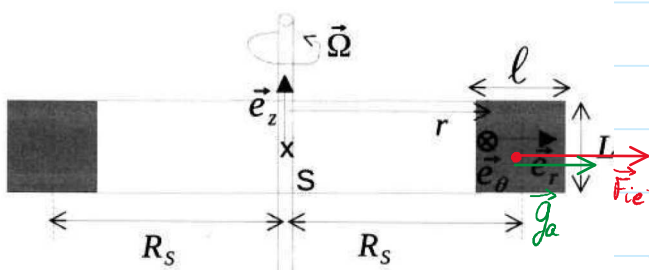
Q18

Un corps est en impesanteur si l'ensemble des forces gravitationnelles et inertielles auxquelles il est soumis, ont une résultante et un moment résultant nuls.

Le point I est immobile dans la capsule $\Rightarrow \vec{F}_G + \vec{F}_{ie} = \vec{0}$. Il est donc en impesanteur.

II 2 La Station spatiale

Q19.



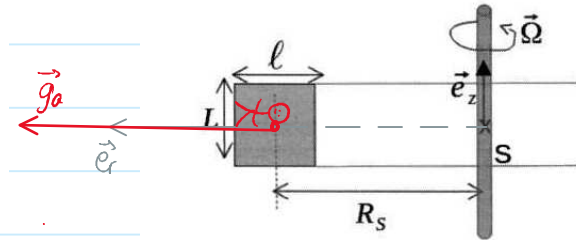
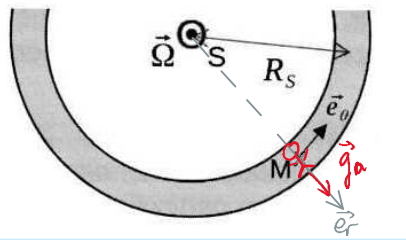
Le Réf lié à la station est en rotation autour de l'axe (Oz) .

Un point I de masse m dans la station ressentira une force centrifuge liée à la rotation de la station

F_{ie} peut se mettre sous la forme $\vec{F}_{ie} = m \vec{g}_a \Rightarrow$ Dans la station, les occupants ressentent une pesanteur \vec{g}_a telle que $\vec{g}_a = \frac{\vec{F}_{ie}}{m}$. Notons que $\vec{F}_{ie} = +m \Omega^2 R_s \vec{e}_r \Rightarrow$

$$\vec{g}_a = \Omega^2 R_s \vec{e}_r$$

Q20



$$Q21 \quad \|\vec{g}_a\| \approx g_0 \iff \Omega^2 R_s \approx g_0 \Rightarrow \Omega \approx \sqrt{\frac{g_0}{R_s}} \Rightarrow \Omega \approx 0.3 \text{ rad/s}$$

I3 Activités au sein de la station :

Q22 Nous aurons une force de Coriolis : $\vec{F}_c = -2m \vec{\Omega} \wedge \vec{v}(M)_{R_s}$. avec $\vec{v}(n)_{e_s} = v \cdot \vec{e}_r$
 $\Rightarrow \vec{F}_c = +2m \Omega v \cdot \vec{e}_r$

Notons que si $v > 0$, \vec{F}_c est dans le même sens que \vec{F}_e . La pesanteur apparente sera accentuée.

Si $v < 0$, \vec{F}_c s'opposera à \vec{F}_e . Il sera donc plus facile de le déplacer.
 L'objet sera en impesanteur, si et seulement si

$$\vec{F}_c + \vec{F}_e = 0 \Rightarrow 2mv_i \vec{\Omega} = -m\vec{g} \Rightarrow v_i = -\frac{\Omega R_s}{2}$$

$$\vec{v}_i = -|v_i| \cdot \vec{e}_r \quad \text{et} \quad |v_i| = 15,7 \text{ m/s.} \quad \text{rotation suivant} (-\vec{e}_r)$$

Q24 La taille de la station $2R_s = 200 \text{ m}$. Il faut savoir que l'ISS fait 100 m de long et 70 m de large.

Partie 3 stocker de l'énergie électrique.

III 1 Nickel

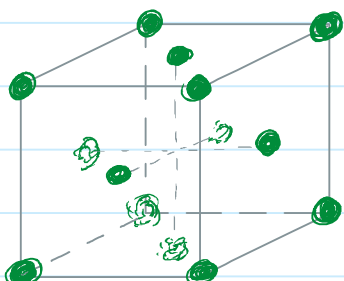
Q25. Ils sont ductiles, solides à température ambiante. Ce sont de bons conducteurs électriques et thermiques. Ce sont des réducteurs.

- Dans le tableau périodique; ils sont à droite

À l'état solide, les métaux sont formés de cristaux dont la cohérence est assurée par une liaison métallique. Dans un tel cristal, les électrons de valence sont délocalisés dans l'ensemble de la structure. Le réseau cristallin peut être considéré comme un réseau d'atomes \oplus baignant dans un nuage d' \ominus . Le tout restant neutre.

→ la mobilité des e^- assure une grande conductivité électrique.

Q26

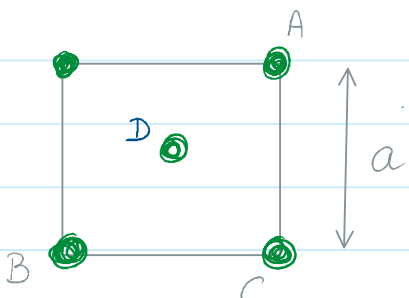


→ nombre d'atomes par maille

$$N = 8 \cdot \frac{1}{8} + 6 \cdot \frac{1}{2} = 4$$

→ coordination : 12.

Q27



$$d_{AB} = \sqrt{2} a \quad d_{AD} = \frac{\sqrt{2}}{2} a$$

Condition de tangence : $d_{AD} = 2 r_N$

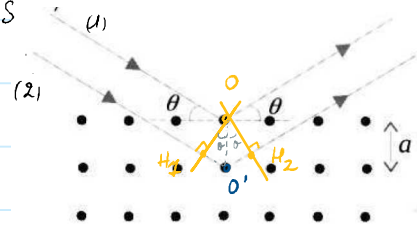
$$\Rightarrow r_N = \frac{\sqrt{2}}{4} a$$

Q28.

Les ondes sont cohérentes si elles sont synchrones et en phase

$$\Rightarrow \omega_1 = \omega_2 = \omega$$

Q29



$$\delta = [SH_1]_2 - [SH_1]_1$$

$$\delta = [SH_1] + [H_1O'] + [O'H_2] + [H_2M] - [SO] - [OM]$$

D'après le th. de Malus, les fronts d'onde sont \perp aux rayons lumineux $\Rightarrow H_1$ et O sont éléments du même front d'onde issu de S . $\Rightarrow [SH_1] = [SO]$.

D'après le principe du retour ^{inverse} de la lumière et du théorème de Malus, H_2 et O sont éléments du même front d'onde issu de M $\Rightarrow [H_2M] = [OM]$

$$\Rightarrow \delta = d_{H_1O} + d_{O'H_2}$$

Dans le triangle $OO'H_1$: $\sin \delta = \frac{d_{H_1O}}{a} \Rightarrow d_{H_1O} = a \sin \delta$
 De la même façon, dans le triangle $OO'H_2 \Rightarrow d_{H_2O} = a \sin \delta$ } $\Rightarrow \delta = 2a \sin \delta$.

Expression du déphasage : $\Delta\varphi = \frac{2\pi}{\lambda} \delta \Rightarrow \boxed{\Delta\varphi = \frac{4\pi a}{\lambda} \sin \delta}$

Q30 $I = 2 < S(M,t) >$ $S(M,t) = S_1(M,t) + S_2(M,t)$. avec $\left\{ \begin{array}{l} S_1(M,t) = S_0 \cos(\omega t - \varphi_1) \\ S_2(M,t) = S_0 \cos(\omega t - \varphi_2) \end{array} \right.$

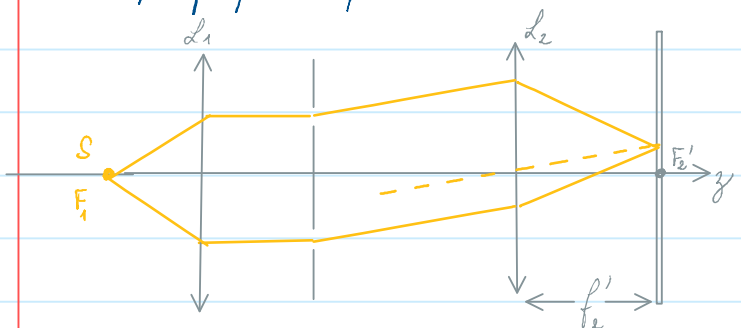
$$\begin{aligned} \Rightarrow I &= 2 \left\{ < S_1^2 > + < S_2^2 > + 2 < S_1 S_2 > \right\} \quad \text{notons que } \cos(A) \cdot \cos B = \frac{1}{2} (\cos(A+B) + \cos(A-B)) \\ &= 2S_0^2 \left\{ \frac{1}{2} + \frac{1}{2} + < \cos(\omega t - \varphi_1 - \varphi_2) > + < \cos(\varphi_2 - \varphi_1) > \right\} \end{aligned}$$

$$\boxed{I(\delta) = 2I_0 \left(1 + \cos\left(\frac{2\pi}{\lambda} \delta\right) \right)}$$

Q31 $I(\delta) = I_{\max} \Leftrightarrow \frac{2\pi}{\lambda} \delta_p = p 2\pi \Rightarrow \frac{4\pi a}{\lambda} \sin(\delta_p) = p 2\pi \Rightarrow \boxed{\sin \delta_p = \frac{p\lambda}{2a}}$

En mesurant les différents δ_p et en tracant $\sin \delta_p$ en fonction de p , nous obtiendrons une droite de pente $\frac{\lambda}{2a}$. Nous pourrons en déduire a .

Q32 Un dispositif quelconque ?



Q33 le spectrogoniomètre

Q34 $E = h\nu$ et $c = \lambda\nu \Rightarrow E = \frac{hc}{\lambda} = 1,2 \cdot 10^{-15} J \Rightarrow E = 7,2 \text{ keV}$

Q35 pour $p=1$. $\theta_1 = 14^\circ \Rightarrow a = \frac{\lambda}{2 \sin \theta_1} \Rightarrow a = 353 \text{ pm.}$

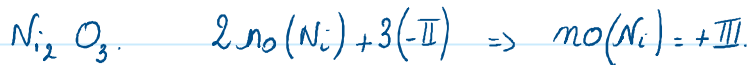
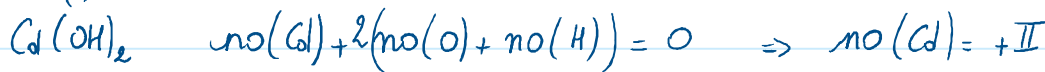
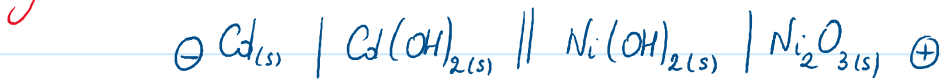
Q36. $r_{Ni} = \frac{\sqrt{2}}{4} a \Rightarrow r_{Ni} = 125 \text{ pm.}$

Q37 $P = \frac{\text{masse d'une maille}}{\text{volume d'une maille}} = \frac{N_i M_{Ni}}{N_A a^3} \Rightarrow a = \sqrt[3]{\frac{N_i r_{Ni}}{N_A \cdot P}}$ AN: $a = 352 \text{ pm}$

Ecart relatif entre les 2 valeurs: 0,24%.

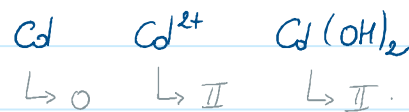
III 3 Accumulateur Cadmium-nickel.

31 Généralité.



espèces	Cd	Cd(OH)_2	Ni(OH)_2	Ni_2O_3
no.	0	II	II	III

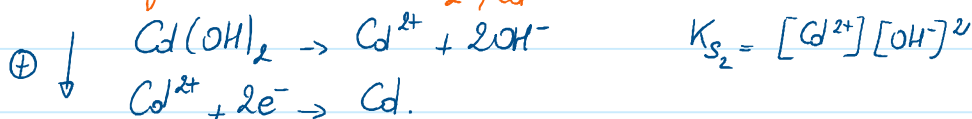
Q39. diagramme $E\text{-pH}$ du Cadmium.



• Domaine frontière Cd^{2+}/Cd .



• Domaine frontière $\text{Cd(OH)}_2/\text{Cd}$



$$E = E_c^0 + 0,03 \log \left(\frac{[Co^{2+}] \cdot [OH^-]^2}{C_0 \cdot [OH^-]^2} \right) \Rightarrow E = E_c^0 - 0,03 pK_{S_2} + 0,03 \cdot \log \left(\frac{[H_3O^+]^2}{K_e^2 C_0^2} \right)$$

$$E = E^\circ - 0,03 \text{ p}k_2 + 0,06 \text{ p}k_e - 0,06 \text{ pH.}$$

$$\text{AN : DF. } E_{\text{DF}} = 0,02 - 0,06 \text{ pH.}$$

* domaine frontière $\text{Cd}^{2+} / \text{Cd(OH)}_2$.



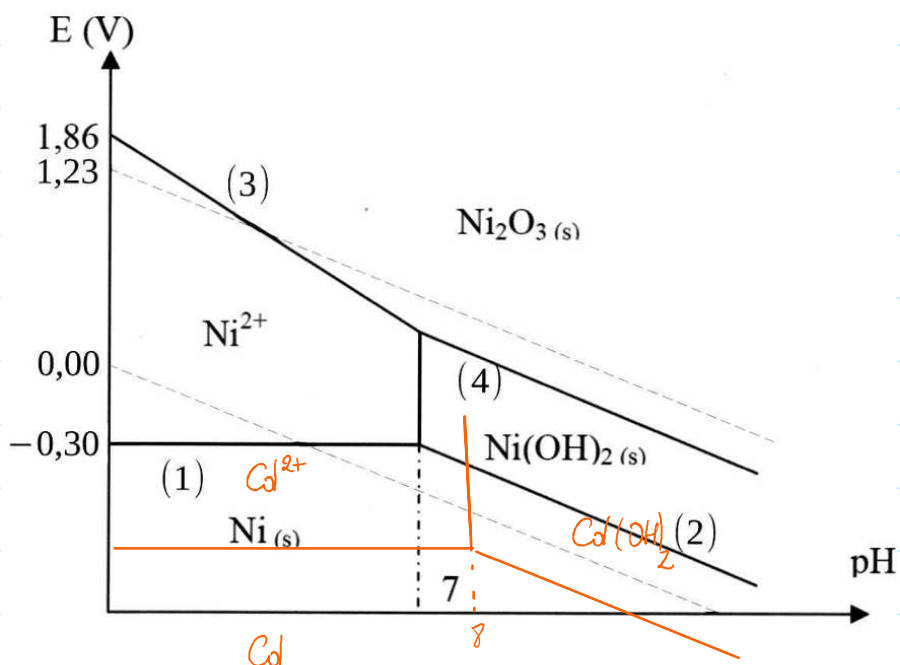
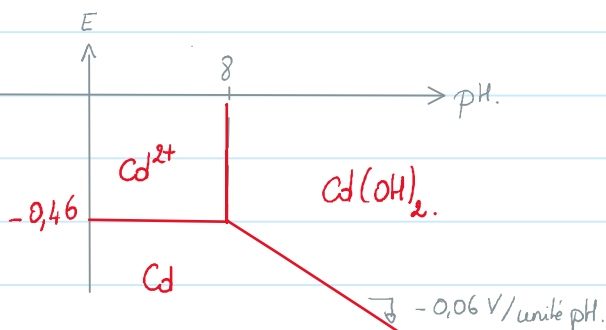
au niveau du domaine frontière :

$$[\text{OH}^-]_{\text{DF}} = \sqrt{\frac{K_{S_2}}{C_{\text{trai}}}} = 10^{-6} \text{ mol/l}$$

$$\Rightarrow [\text{H}_3\text{O}^+]_{\text{DF}} = \frac{k_e}{[\text{OH}^-]_{\text{DF}}} = 10^{-8} \text{ mol.l}^{-1}$$

$$\rightarrow \text{pH}_{\text{DF}} = 8.$$

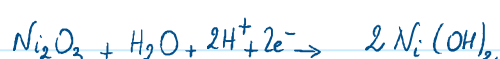
Bilan.



Q40 Anode : Electrodé \ominus . Cd.

Réaction : $\text{Cd} + 2\text{OH}^- \rightarrow \text{Cd(OH)}_2 + 2e^-$ oxydation.

Cathode : Electrodé \oplus . Ni_2O_3 .



mL. banque



Equation Bilan :



Q41 E^+ potentiel du couple $Ni_2O_3 / Ni(OH)_2 \Rightarrow E^+ = E_{44}^-$ à pH = 14.
 $E^+ = 1,02 - 0,06(14) \Rightarrow E^+ = 0,18 \text{ V}$

E^- potentiel du couple $Cd(OH)_2 / Cd$ à pH = 14.
 $E^- = 0,02 - 0,06(\text{pH}) \Rightarrow E^- = -0,82 \text{ V}$

Bilan : $E_{\text{Ncd}} = E^+ - E^- = 1 \text{ V}$

Q42 $E_{\text{Ncd}} = \frac{\Delta_r G^\circ}{nF}$ n . nombre d'ē échangé par les 2 couples redox
ici $n = 2$.

$$\Rightarrow \Delta_r G^\circ = 2F \cdot E_{\text{Ncd}} \Rightarrow \Delta_r G^\circ = 193 \text{ kJ/mol.}$$

Enthalpie standard de réaction :

$$\Delta_r H^\circ = \Delta_f H^\circ(Cd(OH)_2) + 2 \Delta_f H^\circ(Ni(OH)_2) - 3 \Delta_f H^\circ(H_2O) - \Delta_f H^\circ(Cd) - \Delta_f H^\circ(Ni_2O_3)$$

$$\Rightarrow \Delta_r H^\circ = -273,7 \text{ kJ/mol.}$$

Entropie standard de réaction :

$$\Delta_r G^\circ = \Delta_r H^\circ - T \Delta_r S^\circ \Rightarrow \Delta_r S^\circ = \frac{\Delta_r H^\circ - \Delta_r G^\circ}{T} = \frac{-466,7}{298}$$

$$\Rightarrow \underline{\Delta_r S^\circ = -1,6 \text{ kJ K}^{-1} \text{ mol}^{-1}}$$

Q43. $E_{CdNi} = \frac{1}{2F} (\Delta_r H^\circ - T \Delta_r S^\circ)$

$$\Rightarrow \frac{dE_{\text{Ncd}}}{dT} = -\frac{\Delta_r S^\circ}{2F} > 0 \Rightarrow \text{longue } T \uparrow ; E_{\text{Ncd}} \uparrow.$$

Q44 * $\frac{dE_{\text{Ncd}}}{dT} = -8 \cdot 10^{-3} \Rightarrow \left| \frac{dE_{\text{Ncd}}}{dT} \right| \ll 1.$ On peut alors prévoir que les variations de E_{Ncd} seront peu importantes pour des variations raisonnables de température.

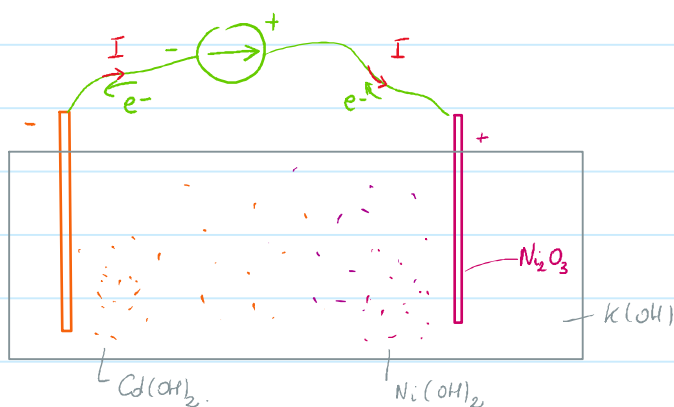
* La concentration en $k(OH)$ permet d'imposer le pH. Notons que

* La concentration en $\text{K}(\text{OH})$ permet d'ajuster le pH. Notons que

$$E^+ = 1,02 - 0,06 \text{ pH} \quad \text{et} \quad E^- = 0,02 - 0,06 \text{ pH}$$

$\Rightarrow E_{\text{NiCd}} = 1 \text{ V}$ notons que E_{NiCd} ne dépend pas du pH.

Q45



Q46



Q47

$$U_{\min} > E_{\text{NiCd}}$$

Q48. les surtensions anodique et cathodique pourraient être à l'origine d'une significative de U_{\min} .

